

PŘÍLOHA P I: GRAFY

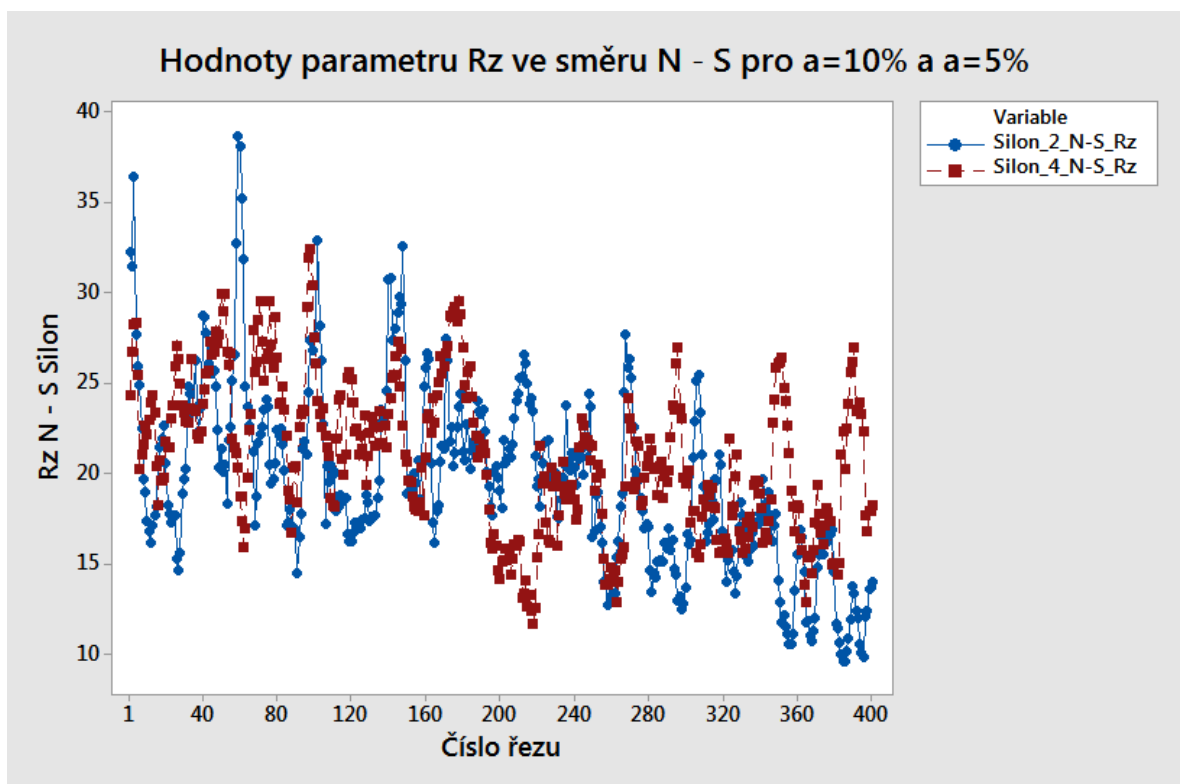
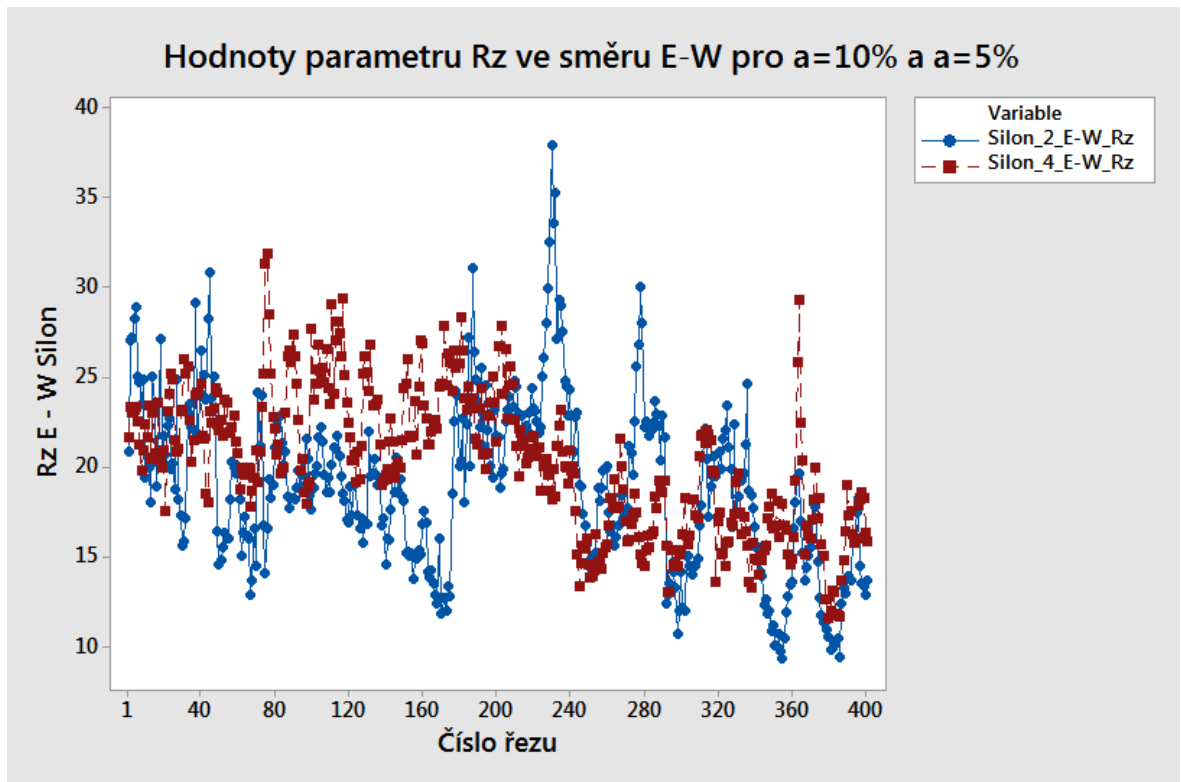
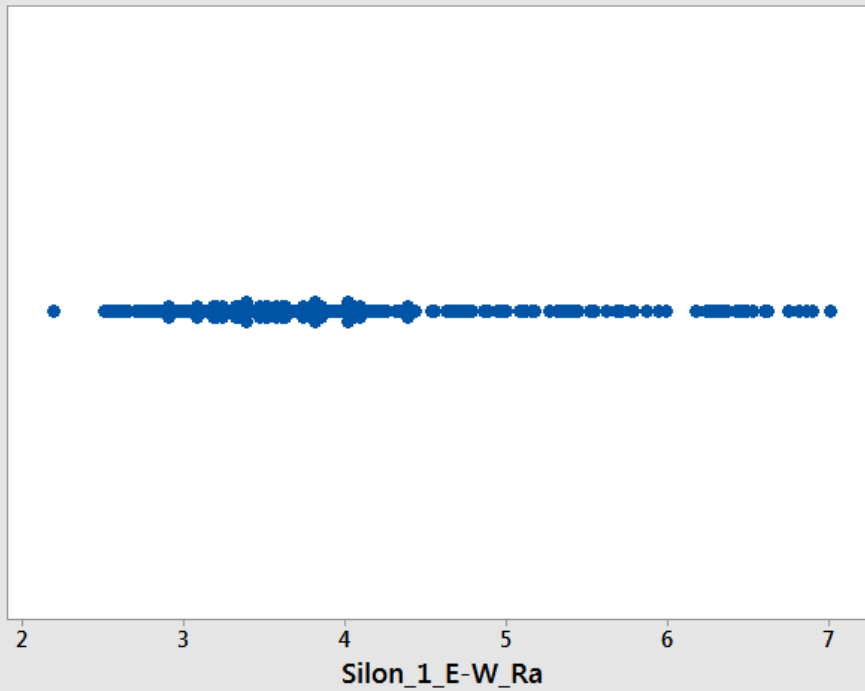
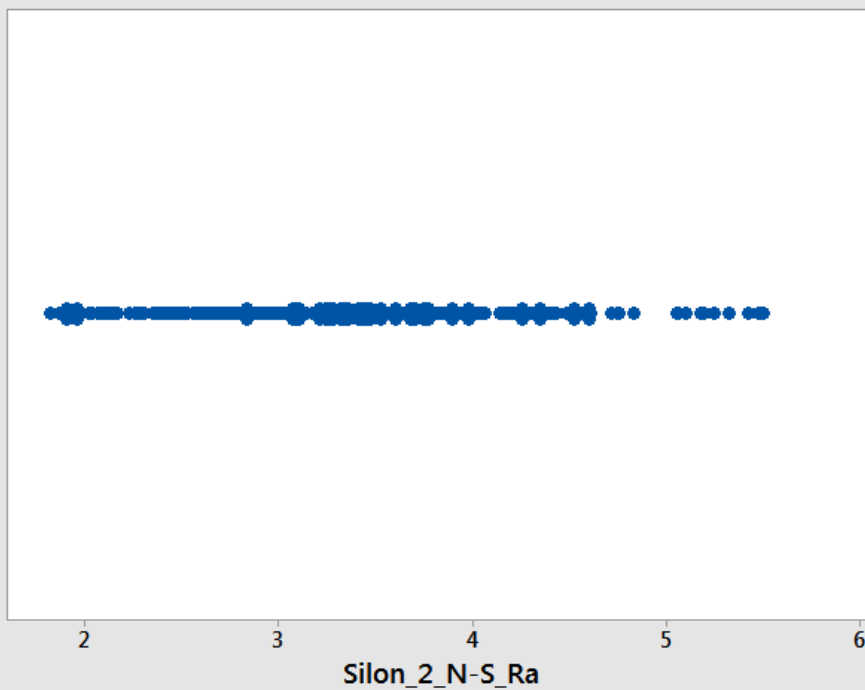


Diagram rozptýlení parametru Ra ve směru E - W pro $\alpha=10\%$



Grubbs' Test			
Min	Max	G	P
2,19	7,01	3,16	0,594

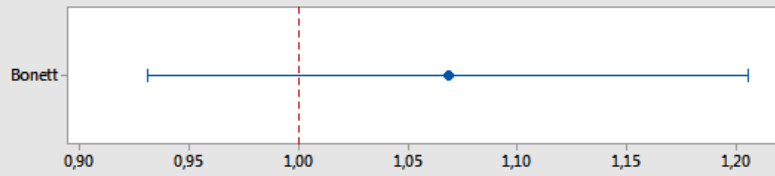
Diagram rozptýlení parametru Ra ve směru N - S pro $\alpha=10\%$



Grubbs' Test			
Min	Max	G	P
1,83	5,50	2,85	1,000

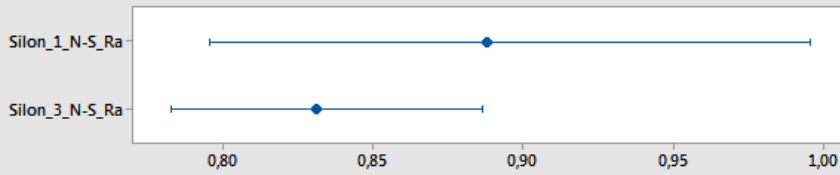
F-test parametru Ra ve směru N-S pro $\alpha=10\%$ a $\alpha=5\%$ Ratio = 1 vs Ratio $\neq 1$

95% CI for $\sigma(\text{Silon}_1_{N-S_Ra}) / \sigma(\text{Silon}_3_{N-S_Ra})$



Bonett's Test	
P-Value	0,326
Levene's Test	
P-Value	0,320

95% CI for StDevs



Boxplot of Silon_1_N-S_Ra; Silon_3_N-S_Ra

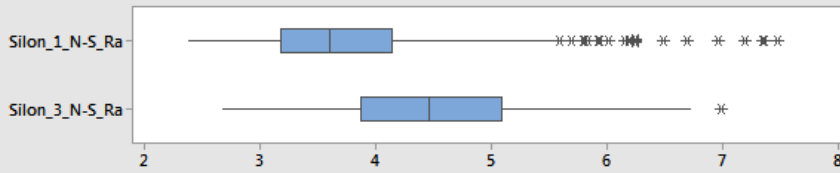
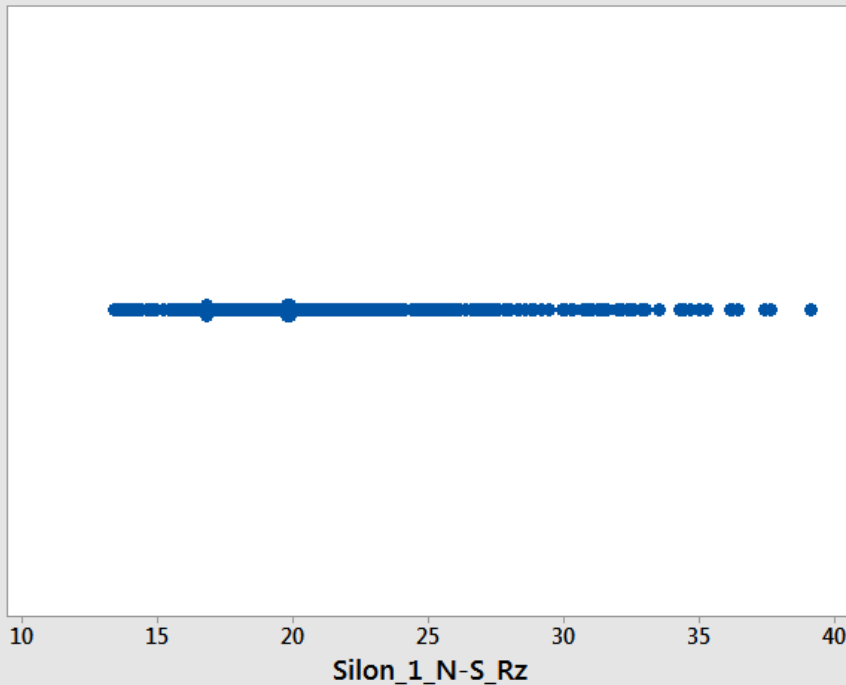
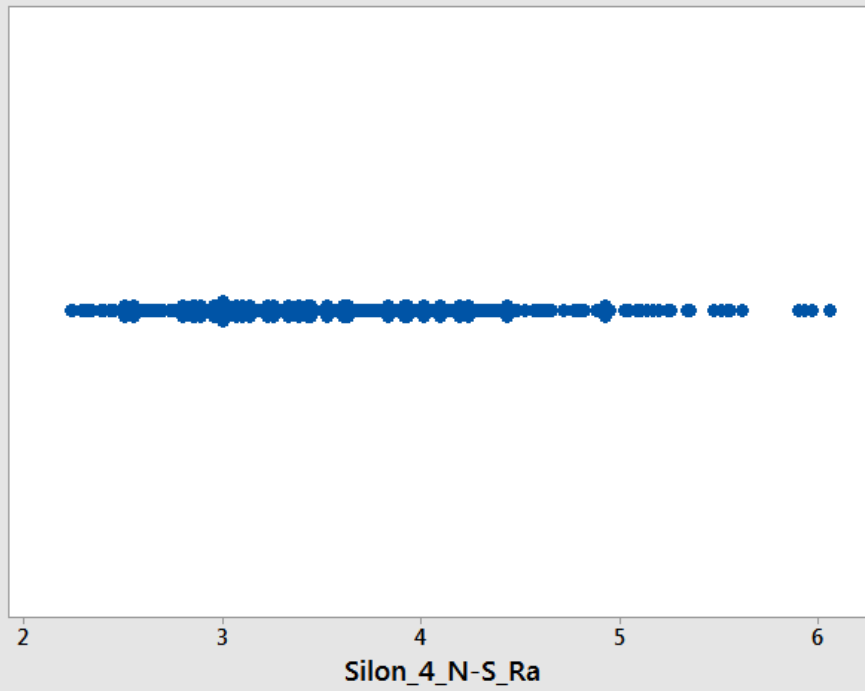


Diagram rozptýlení parametru Rz ve směru N - S pro $\alpha=10\%$



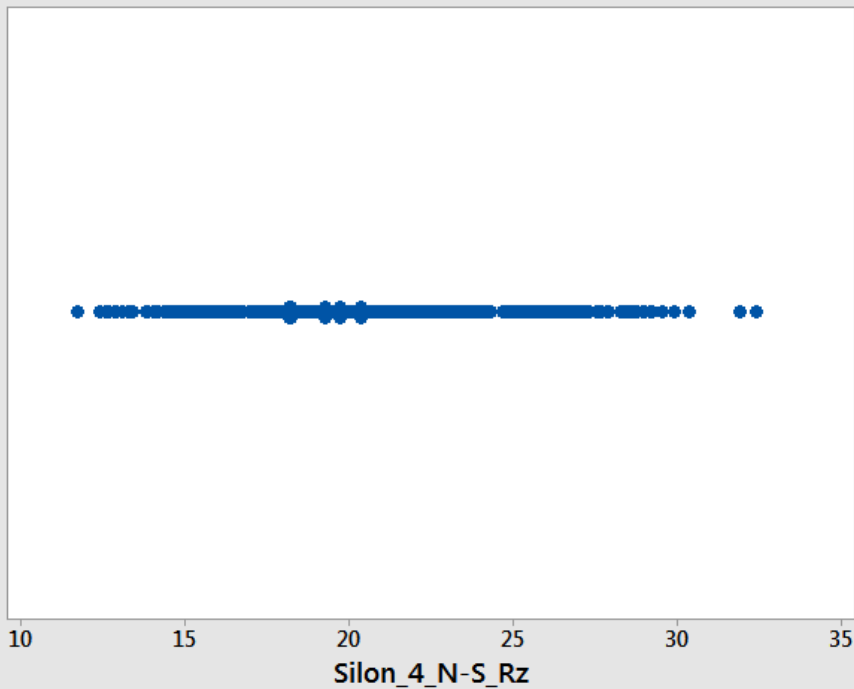
Grubbs' Test			
Min	Max	G	P
13,45	39,13	3,37	0,281

Diagram rozptýlení parametru Ra ve směru N - S pro $\alpha=5\%$



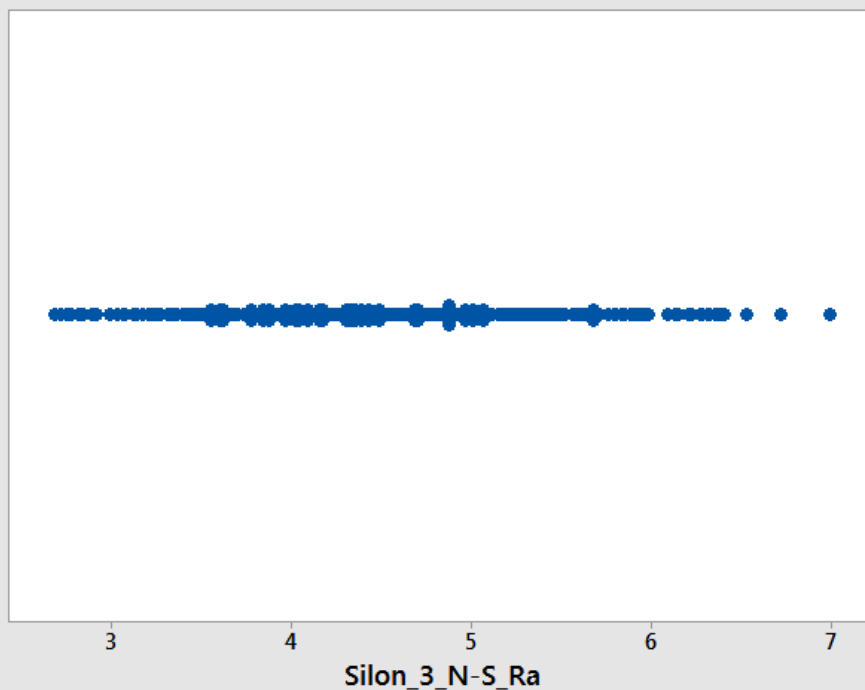
Grubbs' Test			
Min	Max	G	P
2,24	6,06	3,21	0,496

Diagram rozptýlení parametru Rz ve směru N - S pro $\alpha=5\%$



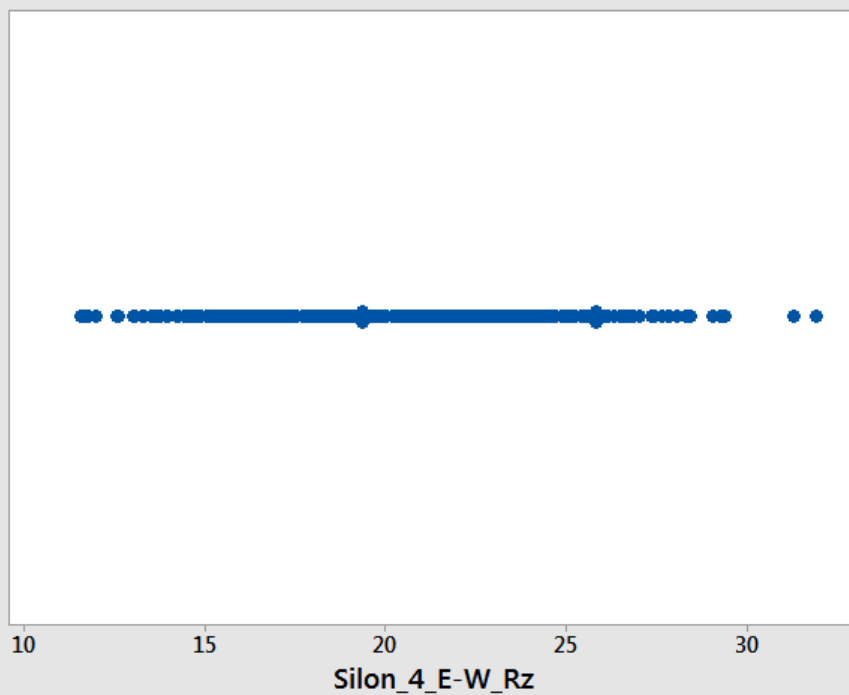
Grubbs' Test			
Min	Max	G	P
11,70	32,43	2,76	1,000

Diagram rozptýlení parametru Ra ve směru E - W pro $\alpha=5\%$



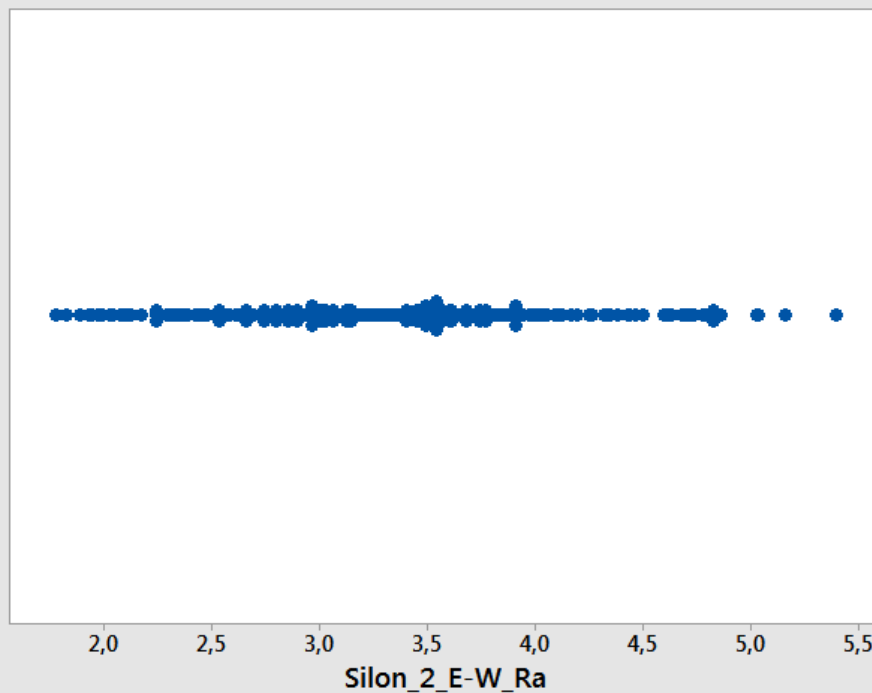
Grubbs' Test			
Min	Max	G	P
2,69	6,99	2,98	1,000

Diagram rozptýlení parametru Rz ve směru E - W pro $\alpha=5\%$



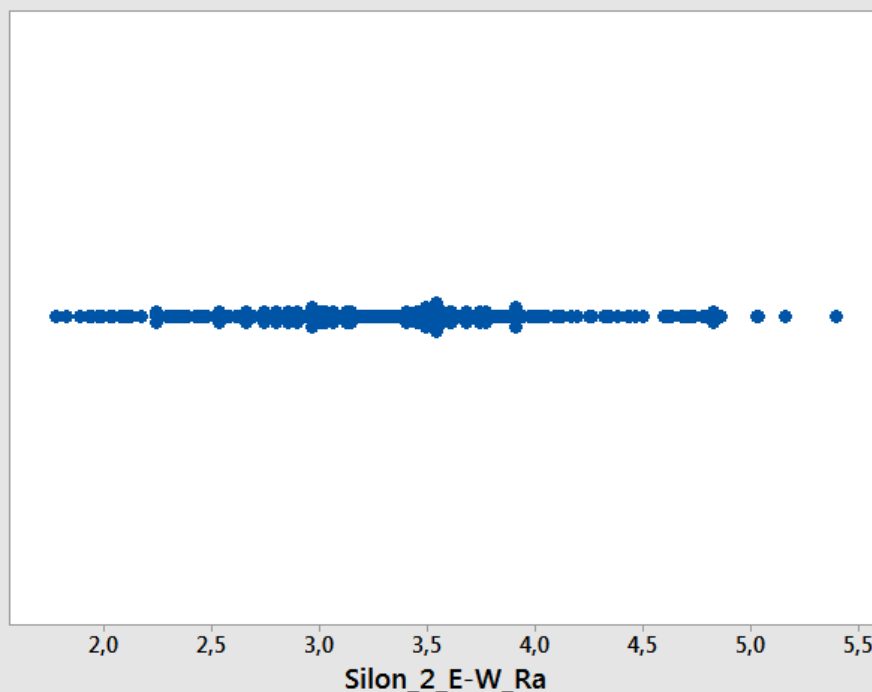
Grubbs' Test			
Min	Max	G	P
11,56	31,91	2,93	1,000

Diagram rozptýlení parametru Ra ve směru E - W pro $\alpha=10\%$



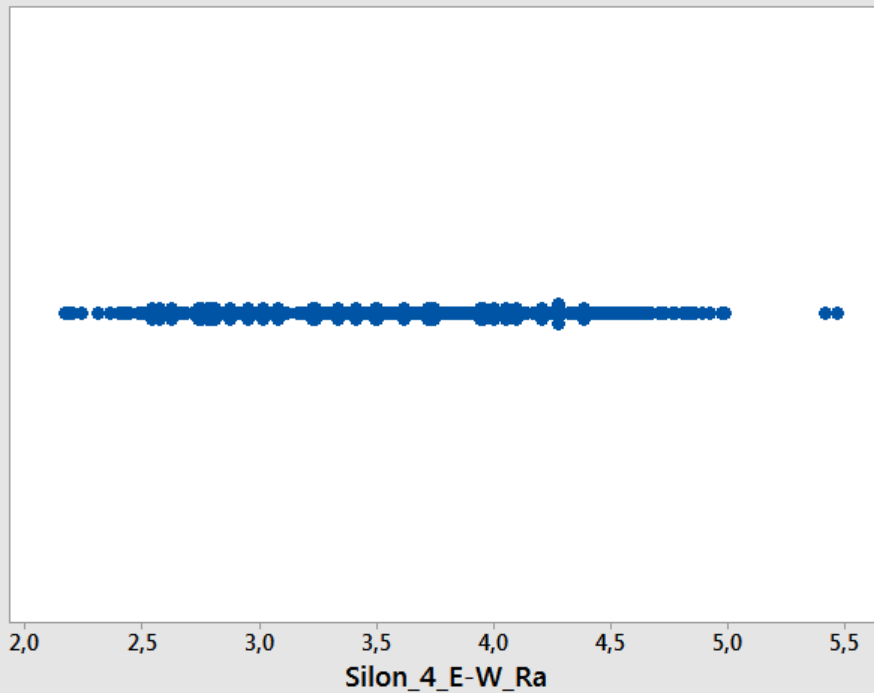
Grubbs' Test			
Min	Max	G	P
1,78	5,40	3,19	0,535

Diagram rozptýlení parametru Ra ve směru E - W pro $\alpha=10\%$



Grubbs' Test			
Min	Max	G	P
1,78	5,40	3,19	0,535

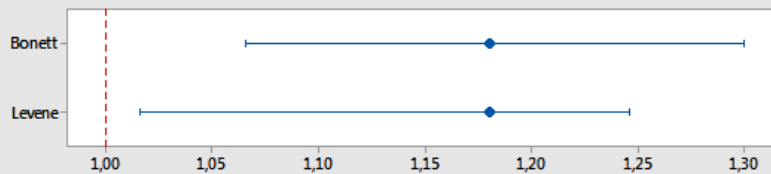
Diagram rozptýlení parametru Ra ve směru E - W pro $\alpha=5\%$



Grubbs' Test			
Min	Max	G	P
2,17	5,47	2,63	1,000

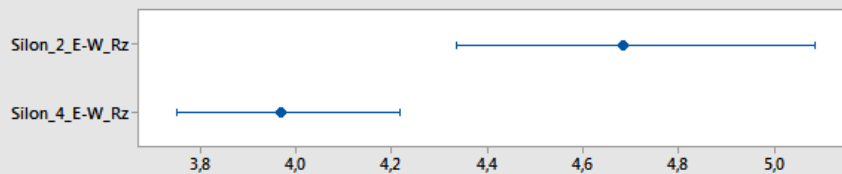
F-test parametru Rz ve směru E-W pro $\alpha=10\%$ a $\alpha=5\%$ Ratio = 1 vs Ratio \neq 1

95% CI for $\sigma(\text{Silon}_2_E-W_Rz) / \sigma(\text{Silon}_4_E-W_Rz)$

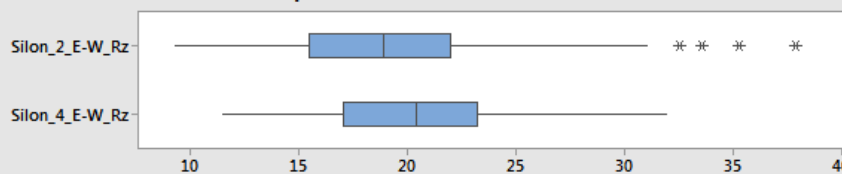


Bonett's Test	
P-Value	0,002
Levene's Test	
P-Value	0,024

95% CI for StDevs

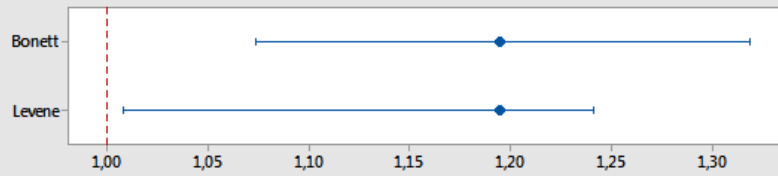


Boxplot of Silon_2_E-W_Rz; Silon_4_E-W_Rz



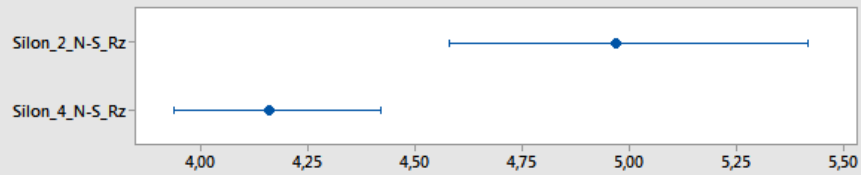
**F-test parametru Rz ve směru N-S pro $\alpha=10\%$ a $\alpha=5\%$
Ratio = 1 vs Ratio $\neq 1$**

95% CI for $\sigma(\text{Silon}_2_{\text{N-S}_{\text{Rz}}} / \sigma(\text{Silon}_4_{\text{N-S}_{\text{Rz}}})$

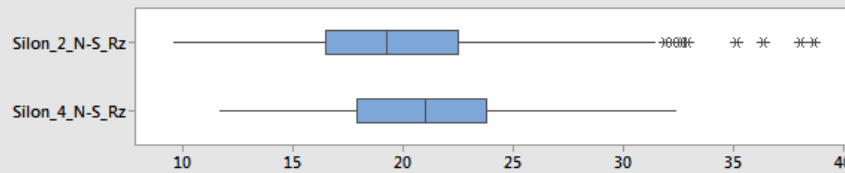


Bonett's Test	P-Value	0,002
Levene's Test	P-Value	0,035

95% CI for StDevs

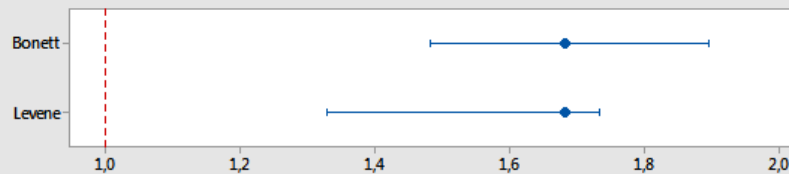


Boxplot of Silon_2_N-S_Rz; Silon_4_N-S_Rz



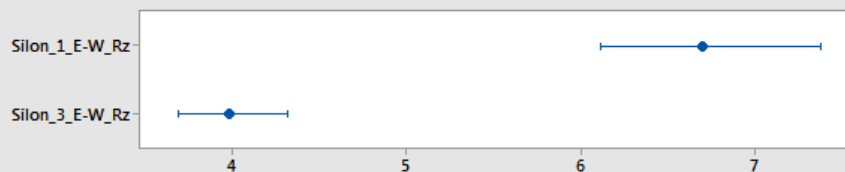
**F-test parametru Rz ve směru E-W pro $\alpha=10\%$ a $\alpha=5\%$
Ratio = 1 vs Ratio $\neq 1$**

95% CI for $\sigma(\text{Silon}_1_{\text{E-W}_{\text{Rz}}} / \sigma(\text{Silon}_3_{\text{E-W}_{\text{Rz}}})$

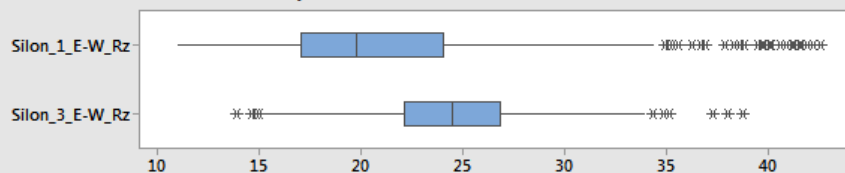


Bonett's Test	P-Value	0,000
Levene's Test	P-Value	0,000

95% CI for StDevs

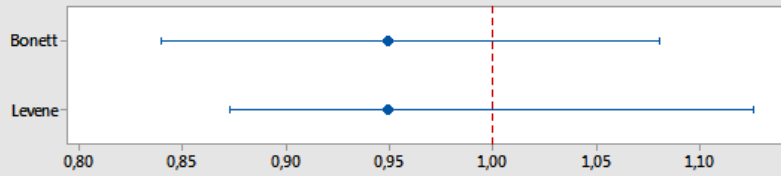


Boxplot of Silon_1_E-W_Rz; Silon_3_E-W_Rz



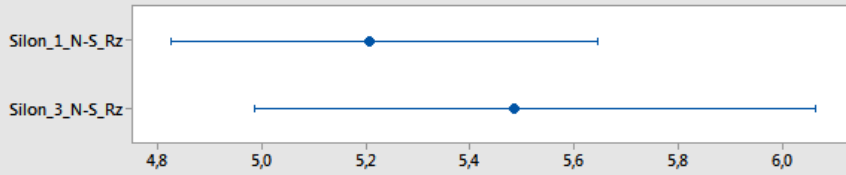
F-test parametru Rz ve směru N-S pro $\alpha=10\%$ a $\alpha=5\%$
Ratio = 1 vs Ratio $\neq 1$

95% CI for $\sigma(\text{Silon}_1_{N-S_Rz}) / \sigma(\text{Silon}_3_{N-S_Rz})$

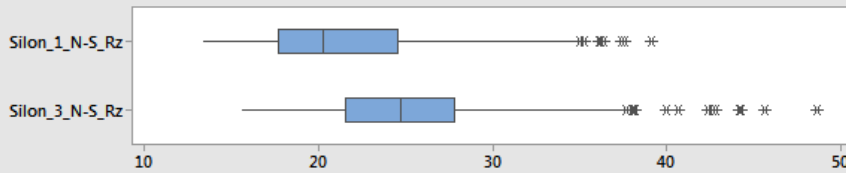


Bonett's Test	P-Value 0,418
Levene's Test	P-Value 0,894

95% CI for StDevs

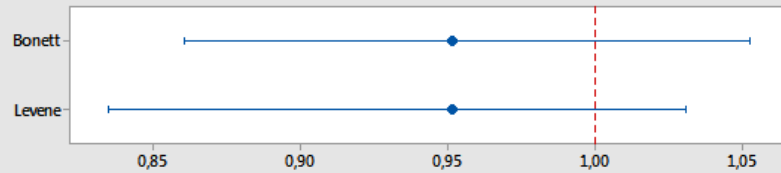


Boxplot of Silon_1_N-S_Rz; Silon_3_N-S_Rz



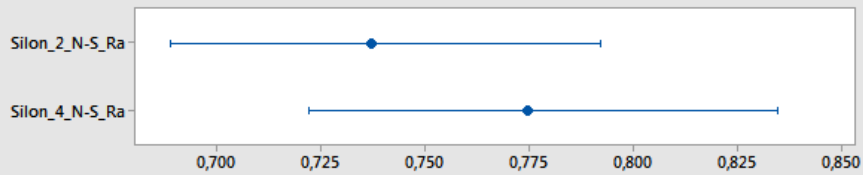
F-test parametru Ra ve směru N-S pro $\alpha=10\%$ a $\alpha=5\%$
Ratio = 1 vs Ratio $\neq 1$

95% CI for $\sigma(\text{Silon}_2_{N-S_Ra}) / \sigma(\text{Silon}_4_{N-S_Ra})$



Bonett's Test	P-Value 0,332
Levene's Test	P-Value 0,164

95% CI for StDevs



Boxplot of Silon_2_N-S_Ra; Silon_4_N-S_Ra

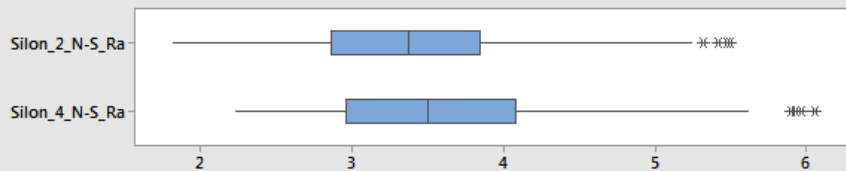
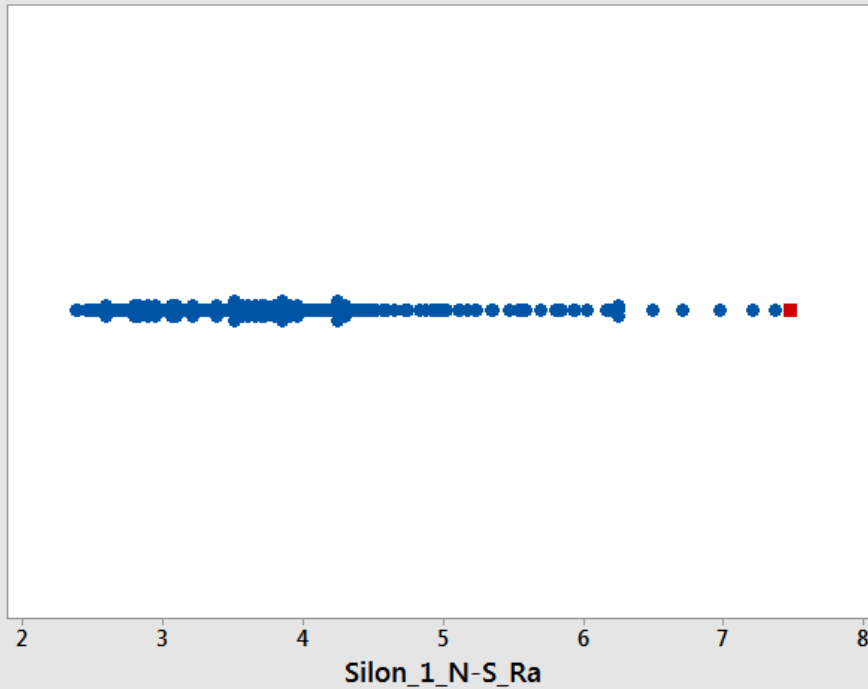


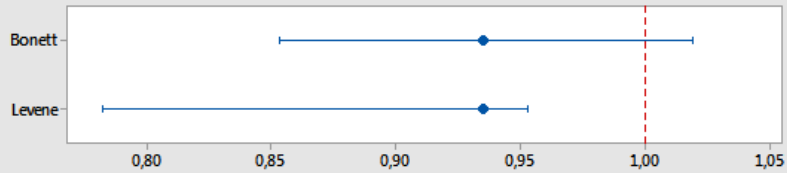
Diagram rozptýlení parametru Ra ve směru N - S pro $\alpha=10\%$



Grubbs' Test			
Min	Max	G	P
2,39	7,48	4,18	0,009

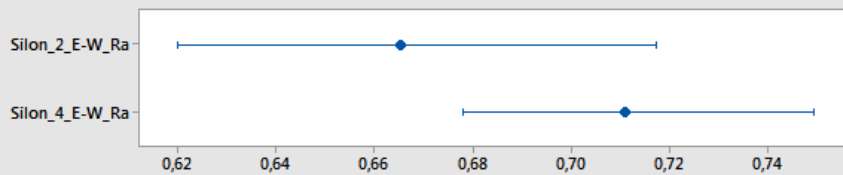
F-test parametru Ra ve směru E-W pro $\alpha=10\%$ a $\alpha=5\%$ Ratio = 1 vs Ratio $\neq 1$

95% CI for $\sigma(\text{Silon}_2_{\text{E-W_Ra}}) / \sigma(\text{Silon}_4_{\text{E-W_Ra}})$



Bonett's Test	
P-Value	0,130
Levene's Test	
P-Value	0,003

95% CI for StDevs



Boxplot of Silon_2_E-W_Ra; Silon_4_E-W_Ra

